

(43) 放射漫透流における熱及び溶質の実験的研究

埼玉大学工学部

正会員

佐藤 邦明

横井大学工学部

正会員

福井 勝幸

三菱金属(株)中央研究所

正会員

○佐々木康夫

はじめに

多孔媒体中にあける熱や溶質の移流分散・拡散に関する従来一次元一様流につりマカラム実験を中心に行なわれ、塙分の分散係数がレノルズ数の関数として決定されており、实用に供されてゐる。しかし、注水井から帶水層への過水注水や水質の異なる水の地下水環元といつた現象のように放射漫透流による分散・拡散は、一次元一様流におけるものとは違った分散・拡散係数が必要となる。この点につけては従来あまり研究が進んでいない。本報はこの点に注目して室内で大型の放射漫透流発生装置を用いて塙水の注水と濃度こう配をもつ塙水の注水試験を試み、それまでの放射流分散方程式の解と対比して分散・拡散係数を実験的に決定した。その結果が従来の一次元一様流の結果と比較して検討された。放射漫透流における分散・拡散現象が一次元流のそれと比べ小さくなり、分散・拡散係数は熱及び濃度こう配を持つ場合に算出され得ることが判明したこと、これに報告するものである。

1. 実験装置と実験手順

実験装置は図-1の如く直径1.2m、厚さ0.1mの円盤状の多孔媒体をてん層、注水頭給水部、流量測定槽、差温温度槽及び温度、塙分測定センサーと測定記録計等よりなる。実験は大別して、①定圧塙水注水試験、②定圧走温塙水注水試験、③定圧フリーテンブ試験に分けられる。これらの実験も基本的には最初定圧放射流に、同じ走温状態で溶質及び淡水が浸入した際の各点での濃度と濃度分布を経時的に測定するものであつて、実験条件と同じ条件下で放射流分散方程式と伝熱方程式を解りて、それらの解曲線と対比して分散及び熱拡散係数を決定しようとするものである。実験手順は、まず多孔媒体層に砂を充てんしポンジラバーを置きて蓋とボルト締めにて完全な止水を施す。ついで水圧をかけつつ気泡の混入を防止しつつ給水し、放射漫透流の流量を計るが、多孔媒体充てん層には予め塙分濃度測定用プローブとゲーミスター・センサームをソルトアセチルで覆しておき、濃度測定器と記録計の調整を行ふ。そこで、放射漫透流における圧力分布をマノメータで計り、流量を定圧下で計り透水係数を求める基礎資料を得る。この段階で走温した漫透流が得られた事を確認した後、直ちに多孔媒体

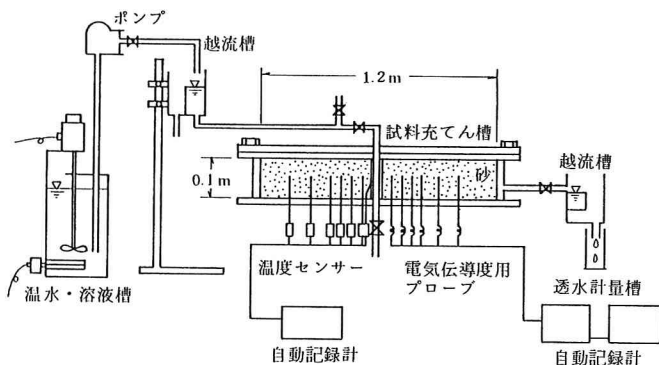


図-1 実験装置とそのシステムの概要

と同様条件下で放射流分散方程式と伝熱方程式を解りて、それらの解曲線と対比して分散及び熱拡散係数を決定しようとするものである。実験手順は、まず多孔媒体層に砂を充てんしポンジラバーを置きて蓋とボルト締めにて完全な止水を施す。ついで水圧をかけつつ気泡の混入を防止しつつ給水し、放射漫透流の流量を計るが、多孔媒体充てん層には予め塙分濃度測定用プローブとゲーミスター・センサームをソルトアセチルで覆しておき、濃度測定器と記録計の調整を行ふ。そこで、放射漫透流における圧力分布をマノメータで計り、流量を定圧下で計り透水係数を求める基礎資料を得る。この段階で走温した漫透流が得られた事を確認した後、直ちに多孔媒体

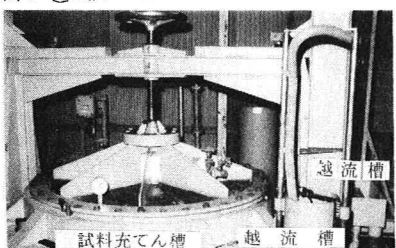


写真-1 実験装置の全景

の中央に設けられたバルブを止め塩水、定温塩水、淡水に切り替え、バルブを開けて塩水や淡水流を発生させ各点の塩分濃度や温度の経時的变化を測定することになる。実験条件と実験結果は表-1にまとめて示し、実験装置の全景は写真-1に示した。

表-1 実験条件と実験結果

充てん試料	実験ケース	浸透条件	透水係数 (cm/s)	解析項目	$r = 0.1575\text{m}$	$r = 0.2075\text{m}$	$r = 0.2575\text{m}$	$r = 0.3075\text{m}$	$r = 0.4075\text{m}$	$r = 0.5075\text{m}$
泥過砂	Exp.-1	溶液 浸透	2.15×10^{-5}	$D_r(\text{cm}^2/\text{s})$	0.1575m	0.2075m	0.2575m	0.3075m	0.4075m	0.5075m
	Exp.-2	溶液 浸透	7.77×10^{-5}	$D_r(\text{cm}^2/\text{s})$	3.08×10^{-1}	2.89×10^{-1}	3.06×10^{-1}	1.95×10^{-1}	1.47×10^{-1}	1.18×10^{-1}
	Exp.-3	定温浴 液浸透	1.89×10^{-5}	$D_r(\text{cm}^2/\text{s})$	6.51×10^{-1}	2.46	3.22	0.681	0.514	0.413
空隙率 = 44.6 %	Exp.-4	定温浴 液浸透	2.72×10^{-5}	$D_r(\text{cm}^2/\text{s})$	1.10×10^{-1}	1.30	3.70	2.50	1.69	1.51
等価熱伝導率 = 1.50 kcal/m·h·°C	Exp.-5	定温浴 液浸透	1.16×10^{-3}	$D_r(\text{cm}^2/\text{s})$	5.08×10^{-1}	3.06×10^{-1}	2.60×10^{-1}	1.91×10^{-1}	1.58×10^{-1}	
等価熱伝導率 = 75.1 kcal/m·h	Exp.-6	ブリーチ チング	1.21×10^{-3}	$D_r(\text{cm}^2/\text{s})$	3.17×10^{-1}	2.41×10^{-1}	1.60	1.08	1.23×10^{-1}	0.99×10^{-1}
泥過砂	Exp.-7	溶液 浸透	3.84×10^{-5}	$D_r(\text{cm}^2/\text{s})$	3.40×10^{-1}	2.40×10^{-1}	1.40×10^{-1}	1.10×10^{-1}		
	Exp.-8	溶液 浸透	8.56×10^{-5}	$D_r(\text{cm}^2/\text{s})$	15	9.8	7.6	6.2		
空隙率 = 42.8 %	Exp.-9	定温浴 液浸透	4.92×10^{-5}	$D_r(\text{cm}^2/\text{s})$	6.2	4.7	3.4	3.2		
等価熱伝導率 = 1.90 kcal/m·h·°C	Exp.-10	定温浴 液浸透	8.23×10^{-5}	$D_r(\text{cm}^2/\text{s})$	25.0	17.0	11.0	8.41		
等価熱伝導率 = 73.0 kcal/m·h	Exp.-11	定温浴 液浸透	7.01×10^{-5}	$D_r(\text{cm}^2/\text{s})$	3.0	2.3	1.4	1.1		
	Exp.-12	ブリーチ チング	8.47×10^{-5}	$D_r(\text{cm}^2/\text{s})$	38	27	19	12		
	Exp.-13	ブリーチ チング	9.73×10^{-5}	$D_r(\text{cm}^2/\text{s})$	24.0	16	11			

2. 実験結果とその検討

2.1 塩分、定温塩分と淡水浸透の経時的变化

図-2(a)～(f)はそれぞれExp.-1, 4, 6, 7, 11, 12の場合における塩分、定温塩分の各点における塩分濃度と温度の経時的变化を示してある。一次元一様流における場合と類似に放射流の場合にはとともに距離rが大きくなるほど分布がフラットになる。この事はこれらの方から読みとれる。つまり、放射流の場合には一様流と異なりRが小さくなるほどは見掛け上塩分、温度の分散係数や拡散係数は大きくなるのである。

2.2 放射流における塩分・温度の分散・拡散係数の決定法

本報では、基本的には水で飽和された多孔体に濃度差及び温度差を与えた場合の溶質の移流・拡散モデルと伝熱モデルを考える。ただし、本モデルでは水平スケールに比べて鉛直スケールは十分小さくして、水平一次元放射流とみなし、 $L - \gamma - \text{数} Ra$ ($Ra = \beta \Delta T \cdot k H (PC)/K$ β : 流体の体積膨張率, ΔT : 温度差, H : 砂層厚, PC : 等価熱容量, k : 透水係数, K : 等価熱伝導率) は十分小さく、垂直扩散係数 D_r は γ の $1/2$ 乗で比例するとしている。

次に塩分分散方程式は保存法則より

$$\frac{\partial C}{\partial t} = \frac{\partial}{\partial r} (D_r \frac{\partial C}{\partial r}) + \frac{D_r}{r} \frac{\partial C}{\partial r} - U_r \frac{\partial C}{\partial r} \quad (1)$$

となる。ここに、 C : 濃度, D_r : 拡散係数である。 $U_r = \frac{U_{rot}}{r}$ と $Ogata^1$ に従って $D_r = D_0 U_{rot}/r = \alpha/r$ ($D_0 = \alpha U_{rot}$) , α : 流れと多孔体に關係する定数, U_{rot} : $r = r_0$ での流速の關係を式(1)に代入し無次元化すると次式を得る。

$$\frac{\partial C^*}{\partial t^*} = \frac{D_0^*}{r^*} \frac{\partial^2 C^*}{\partial r^{*2}} - \frac{1}{r^*} \frac{\partial C^*}{\partial r^*} \quad (2)$$

ここに、 $C^* = C/C_0$ (C_0 : 溶質の初期濃度), $D_0^* = D_0/U_{rot}$ である。式(2)の初期・境界条件は次の式(3)で与えられる。

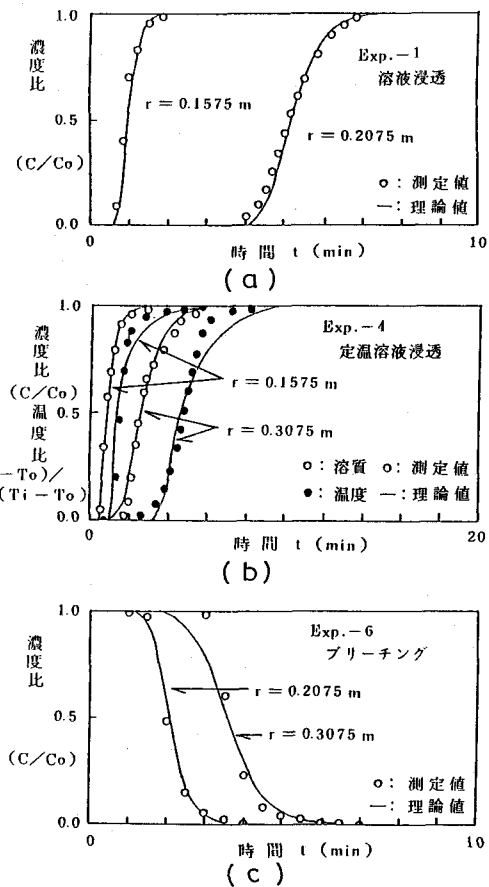


図-2 塩分・温度の経時の変動、解析結果 (泥過砂)

$$\left. \begin{array}{l} C^* = 1, R^* = 1, t^* \geq 0 \\ C^* = 1, R^* = \infty, t^* \geq 0 \\ C^* = 1, R^* > 1, t^* = 0 \end{array} \right\} \quad (3)$$

一方、熱量に関する保存法則より熱拡散方程式は

$$\frac{\partial T}{\partial t} = K \left(\frac{\partial^2 T}{\partial r^2} + \frac{1}{r} \frac{\partial T}{\partial r} \right) - r u_r \frac{\partial T}{\partial r} \quad (4)$$

ここに、 T : 温度、 r : 放射流の中心から半径方向への距離、 $K = \lambda/(PC)$: 热拡散係数（入：等価熱伝導率）、 u_r : 半径方向流速、 r : $(PC)w/(PC)$ 、 $((PC)_w$: 液体の毛管熱容量である。泡膜を支配する物理量を用いて式(4)を無次元化すると式(5)となる。

$$\frac{\partial T^*}{\partial t^*} = K^* \left(\frac{\partial^2 T^*}{\partial r^*} + \frac{1}{r^*} \frac{\partial T^*}{\partial r^*} \right) - \frac{r}{R^*} \frac{\partial T^*}{\partial r^*} \quad (5)$$

ここに、 $T^* = (T - T_0)/(T_i - T_0)$ 、 $t^* = t/(R/u_r)$ 、 $R^* = R/r$ （ T_0 : 初期温度、 T_i : 投入温水温度、 R : セルサ半径、 u_r : $r = R$ での浸透流速）である。式(5)に対する初期・境界条件は式(6)で与えられる。

$$\left. \begin{array}{l} T^* = 1, R^* = 1, t^* \geq 0 \\ T^* = 0, R^* = \infty, t^* \geq 0 \\ T^* = 0, R^* > 1, t^* = 0 \end{array} \right\} \quad (6)$$

また、ブリーチングの場合には、濃度、温度とも基礎式は同じであり初期・境界条件を変えて式(7)を用いて解いた。実験の計算では、1/1マンの条件を満たしながら式(2)、式(5)を時間に関して前進差分、空間に関して中央差分を用い、それと並行して逆解法によった。

$$\left. \begin{array}{l} C^* = 0, R^* = 1, t^* \geq 0 \\ C^* = 1, R^* = \infty, t^* \geq 0 \\ C^* = 1, R^* > 1, t^* = 0 \end{array} \right\} \quad (7) \quad (\text{温度の場合には } C^* \text{ が } t^* \text{ に置きかわる})$$

塩分分散係数は、式(2)の解曲線と図-2(a)～(f)のような濃度の経時変化の測定結果を比較して best fit curve を与える各分散係数が求めるべき値であつて、コンピュータにより実験結果の濃度分布に理論解による値を best fit させることが可能である。このようにして求めた各分散係数に対する理論と実験の適合の程度が図-2 に同時に示してあり、両者は比較的良く一致していることが判る。

同様に、熱拡散係数の場合には式(5)によつて解析を進めることになる。基礎方程式の形式は塩分分散の場合と竟うないが、熱の場合には塩分の場合のように溶質に対する熱拡散係数は吸収するために尾掛け上熱拡散係数が小さく表わることになる。この点は図-2 (b), (c) を対比して知ることができる。

結果的に、この種の現象を水理的に予測しようとする際には分散及び熱拡散係数の値を明確にすればと熱対流にフリードは対流効果をつかむことがより大切になる。一般に、これらの係数はレインルズ数 Re ある 1 ペンタス Pe の関数と見るのが基本的であるから、図-3～6 には分散・熱拡散係数 D_r , D_{rr} , D_{rt} , K_{rt} とレインルズ数 Re の関係を示してある。

図-3 の $D_r/10 \sim Re$ の関係は $Re = u_r d_{50}/v$ で整理し式化すると、 $D_r/10 = a_1 Re^{b_1}$ となる。ここに、 $a_1 = 0.21$, $b_1 = 0.95$, v : 水の動粘性係数、 u_r : r の距離での浸透流速、 d_{50} : 充てん砂の 50%粒径である。図-4 の関係は、 $D_{rr}/10 = a_2 Re^{b_2}$ ($a_2 = 0.34$, $b_2 = 1.01$) となる。図-5 の場合には $K_{rt}/v = a_3 Re^{b_3}$ ($a_3 = 0.06$

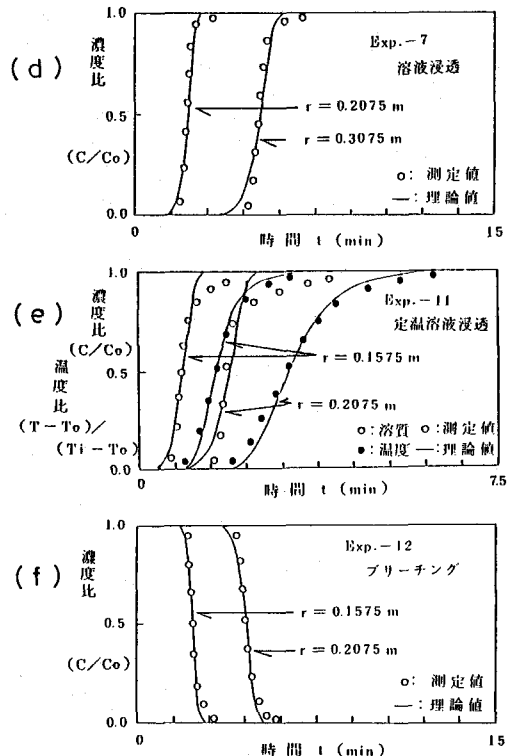


図-2 塩分・温度の経時の変化の測定、解析結果（標準砂）

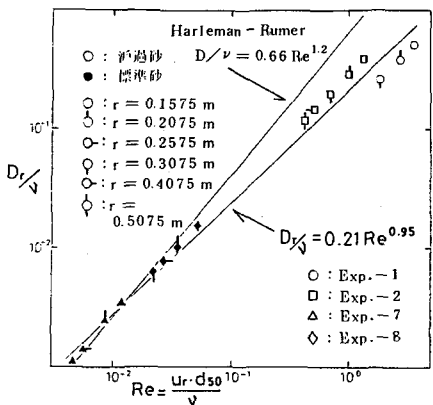


図-3 分散係数 D_r/V とレイノルズ数 Re の関係

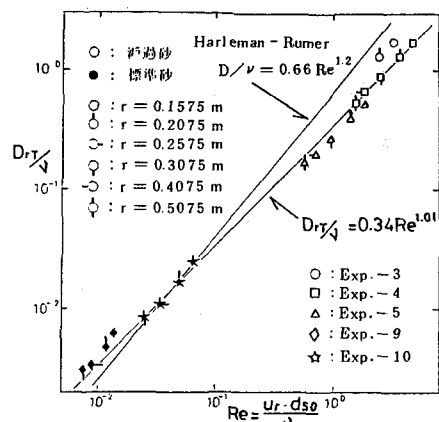


図-4 熱を伴う分散係数 D_r/V とレイノルズ数の関係

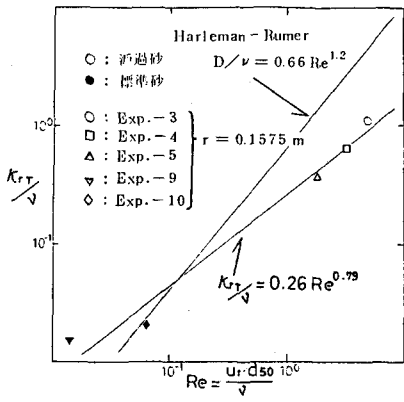


図-5 热拡散係数 k_r/T とレイノルズ数 Re の関係

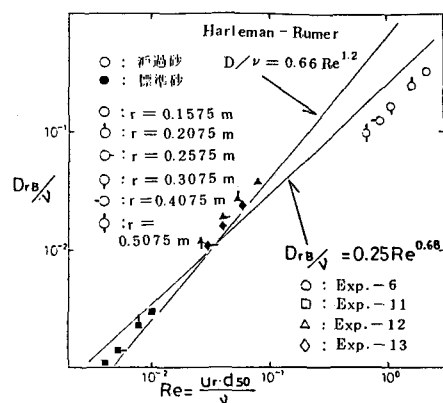


図-6 分散係数 D_r/B とレイノルズ数の関係

, $b_3 = 0.79$)となり, 図-3と図-5の係数と指数を比べて判るようには, $a_1 < a_2$, $b_1 > b_3$ であることから塩分拡散の方が熱拡散より基本的には輸送形態が卓然することが判り, 拡散現象としては塩の方が支配的性質をとる大でなくともかく明らかにされた。また, 図-6のブリーチングの場合には, $D_{rB}/v = a_2 Re^{b_4}$ ($a_2 = 0.25$, $b_4 = 0.68$)となり, 図-3の値と比較すると $a_1 < a_2$, $b_1 > b_4$ になつてゐる。

むすび

放射浸透流における著者, 温度こう配をもつ著者及びブリーチングの3者に亘り室内透水実験により分散・拡散現象が実験的に研究されたが, 一次元一様流の場合と同様に熱・著者とともに拡散曲線そのものが射流のそれほどフラットになる。温度こう配をもつ著者分散は今回行った実験の範囲では放射流のレイノルズ数がある程度大きくなると, あまり大きく熱の影響は受けないが, 時間が経過するごとに著者フロントがゆっくり進むためには熱を受けるようになる。今回求めた著者の分散係数 D とレイノルズ数 Re の関係はそれぞれ, $D/v = 0.21 Re^{0.95}$, $D_{rB}/v = 0.34 Re^{1.01}$, $D_{rB}/v = 0.25 Re^{0.68}$ となり, 热拡散の場合には $k_{rT}/v = 0.26 Re^{0.79}$ となった。

参考文献

- 1) Akio Ogata: *Theory of dispersion in a granular medium*, Geological survey professional paper 441-I, 1970
- 2) D. R. F. Harleman and R. R. Rumer: *Longitudinal and lateral dispersion in an isotropic porous medium*, J. Fluid Mech. Vol. 16, pp. 385~394, 1963

(43) Experimental Study on Diffusion of Heat and Solutes in
Radial Seepage Flow

by Kuniaki Sato*, Teruyuki Fukuhara**
and Yasuo Sasaki***

Diffusion phenomena of heat and solutes in radial seepage flow give somewhat different characteristics as compared with those in one-dimensional uniform seepage. The present paper describes how to determine the coefficient of dispersion and diffusion in a laboratory, and also relationships between dispersion coefficient and Reynolds number. Experiments are carried out by two different conditions: solute dispersion and solute dispersion having the temperature gradient for two kinds of sands. In all experiments, solute water and heated solute water displace the stagnant water from the center well in the disk shaped aquifer under the constant pressure head. The solute concentration and temperature with time are simultaneously measured at the different points, and coefficients of heat diffusion and solute dispersion are determined by comparing those of theoretical solutions under the same initial and boundary conditions. The experimental relationships between coefficients and Reynolds number Re , based on the experimental results are given by $D_r/v = 0.21 Re^{0.95}$ for solute dispersion, $D_{rt}/v = 0.34 Re^{1.01}$ for heated solute dispersion and $D_{rb}/v = 0.25 Re^{0.68}$ for bleaching.

* Hydroscience and Geotechnology Laboratory, Faculty of Engineering,
Saitama University, Urawa, Saitama

** Department of Construction Engineering, Faculty of Engineering,
Fukui University, Fukui

*** Department of Planning and Project Coordination, Central Research
Institute, Mitsubishi Metal Corp.